

## تقدیر الجریان السطحی باستخدام نموذج SWAT لجایة غیر مرصودة شمال العراق

د. محمد عز الدين محمد

استاذ مساعد

قسم هندسة السدود والموارد المائية/جامعة الموصل

اسماء مؤید سعد الله

طالبة ماجستير

### الخلاصة

تعتبر نماذج المحاكاة والنماذج الرياضياتية بمختلف انواعها والتي هي نماذج مبنية على اساس فيزيائي (Conceptual Model) او التي تعتمد على المعادلات وال العلاقات الناتجة من القياسات المختبرية او الحقلية (النماذج الوضعية والتجريبية "Imprical Model") ذات اهمية في تقدیر عمق الجریان السطحی و معامل السیح وبشكل خاص للجایات غیر مرصودة الجریان. يتضمن البحث تطبيق نموذج تخمين عمق السیح السطحی والرسوبیات SWAT (Soil and Water Assessment Tool ) لتقدیر عمق الجریان السطحی لجایة نهر الخوصر والبالغة مساحتها  $696 \text{ km}^2$ . اجريت معايرة للنموذج لبيانات عوائق مطرية مرصودة عند منفذ الجایة وكذلك اعتمدت بيانات عوائق اخری مرصودة عند منفذ جایة ثانوية ضمن جایة حوض النهر تبلغ مساحتها  $36 \text{ km}^2$  لفرض التحقق من اداء النموذج. اظهرت نتائج المعايرة معامل تحديد ودليل الموافقة وكفاءة النموذج و t-test قيما 0.99 و 0.95 و 0.73 و 0.19 على التوالی، بينما اعطت نتائج التتحقق من اداء النموذج 0.97 و 0.89 و 0.72 و 0.32 لنفس المعايير الاحصائية السابقة.

طبق النموذج على جایة نهر الخوصر لفترة زمنية يومية مستمرة للمدة 1991-2011 وربط الجریان السطحی اليومي المتراکم مع العمق التراکمي اليومي للعواائق المطرية بعلاقة کم تم ربط عمق الجریان السنوي مع عمق المطر السنوي بعلاقة اخری. تبینت امكانیة تطبيق هذه العلاقات لتقدیر عمق السیح ومعامل السیح لمختلف الدراسات للجایة.

## Estimate the Runoff Depth by Using of SWAT Model at a Watershed in Northern Iraq

A. M. Saadallah

M.Sc. Student

M. Ezz-Aldeen Mohammad

Assistant Professor

Dams and Water Resources Engineering Department/Mosul University

### Abstract

The different types of mathematical models which are physically based models or the models based on laboratory experimental and/or field measurements are considered to estimate the runoff depth and runoff coefficient relating rainfall to runoff especially for the non-measured watersheds. Soil and Water Assessment Tool (SWAT) was applied to estimate the surface runoff depth of Al-Khoser River watershed,  $696\text{km}^2$ . The model was calibrated based on measured single storms data at the watershed outlet, while data measured at the outlet of sub watershed ( $36\text{km}^2$ ) are considered for model verification. For model calibration, the resultant values are 0.99, 0.95, 0.73 and 0.19 for determination coefficient, index of agreement, model efficiency, and t-test respectively, while verification of the model revealed values of 0.97, 0.89, 0.72 and 0.32 for the same parameters considered respectively.

The model was applied as a daily continuous simulation for the period 1991-2011. Relationships between the accumulated daily runoff depths and accumulated daily rainfall depths have been obtained, additionally the yearly runoff depth related to the yearly rainfall depth was also derived. Those relations can be used to estimate the runoff depth and runoff coefficient for different studies of the watershed.

12 - 5 - 2015 :

4 - 8 - 2013 :

## 1- المقدمة

ان لتقدير كميات مياه الجريان السطحي الناتجة عن هطول الامطار على الاحواض المائية اهمية كبيرة في مجال ادارة الموارد المائية، فمنها ما يخص تصميم المنشآت الهيدروليكيه المختلفة التي تقام عادة عليها ومنها ما يخص تشغيل وادارة هذه المنشآت مثل خزانات السدود. تعتمد القياسات الحقلية لعواصف منفردة عادة او القياسات المتواصلة في محطات القياس عند منفذ الاحواض المائية وخلالها لعرض تقدير كمية مياه الجريان السطحي وعمقها. ان مثل هذه القياسات تساهم بشكل كبير في تحديد معاملات السيف السطحي للحوض المائي المعنى وللأحواض المائية ذات الخصائص المماثلة في حال عدم توفر قياسات لها. ان قياسات السيف السطحي على الرغم من اهميتها البالغة الا انها لا زلت محدوده جداً في العالم عموماً ومناطق الشرق الاوسط بشكل خاص. لذلك وفي حالة الحاجة الى تقدير السيف السطحي او معامله تتم المقارنة مع احوال مائية مماثلة في الخصائص من تكوين التربة واستخدام الارض، او الاعتماد على النماذج الرياضياتية المختلفة. بعض هذه النماذج تحاكي كل عاصفة مطرية بشكل منفرد مثل نظام نمذجة الاحواض المائية (WMS) Watershed Modeling System والذي يشتمل على كل من نموذج HEC RT25، و غيرها لتقدير هيدروغراف الجريان السطحي، والبعض الاخر تكون المحاكاة فيها مستمرة اي هناك تأثير لكافة العوامل المؤثرة على السيف من رطوبة التربة، درجات الحرارة، الرياح، التبخر، وغيرها ومنها نموذج WEPP (Water Erosion Prediction Project) علماً ان هناك حاجة الى معايرة هذه النماذج وذلك من خلال مقارنتها بقياسات مرصودة للتأكد من ملائمتها وامكانية تطبيقها بشكل موثوق.

اجرى [1] دراسة تأثير تغير ابعاد نموذج المناسبات الرفمية DEM على هيدروغراف الجريان السطحي في جابية شرق مدينة الموصل في العراق، من خلال نظام نمذجة مساحات الجابية WMS. اعتمدت بيانات المناسبات الرقمية لخلايا بأبعاد (1000 و 500 و 250 و 125) متر وكذلك تم التعبير عن نوعية التربة واستخدامات الارض بأسلوب الخلايا الرفمية كما في حالة المناسبات. طبق النموذج على ثلاثة العواصف المطرية وكلها المناسبات الرفمية واجري تقييم للنتائج من خلال مقارنة هيدروغراف التصارييف المتوقعة من النموذج مع التصارييف المقاسة حقولياً وكذلك حجم الجريان السطحي الناتج عن العاصفة ومقدار التصريف الاقصى وزمن حصوله، اظهرت النتائج ان الخلايا بأبعاد 125\*125 م كانت الافضل، بينما كانت النتائج مقبولة الى حد ما لابعاد خلايا 500 م وحسب نتائج المعايرة الاحصائية في تقدير هيدروغراف الجريان السطحي بالمقارنة مع الخلايا ذات الابعاد الاخرى.

استخدم [2] نماذج ناش وكلارك وسانت فينانت لتقدير هيدروغراف القياسي باستدامة ثلاث ساعات لخمسة جواني غير مرصودة حول مدينة الموصل، اظهرت النتائج تقارب بين نموذجين ناش وكلارك وان نسبة ذروة التصريف في نموذج سانت فينانت كانت (27.4-2.5) ولنموذج كلارك وناسن بلغت (14.1-1.4) على التوالي للجواني المختلفة.

اجرى [3] تحقق من أداء نموذج SWAT في عملية التنبؤ والمحاكاة للمجرى المائي لحوض نهر Bernam الواقع جنوب شرق Perak وشمال شرقی Selangor في ماليزيا والذي تبلغ مساحته 1097 كم<sup>2</sup>، حيث طبق نموذج SWAT لمدة 27 سنة من 1981-2007، قسمت إلى مدة المعايرة من 1981-2004 ومدة التتحقق من الصحة من 2005-2007. اعتمد كلا من معامل التحديد R<sup>2</sup> وكفاءة النموذج NSE كاختبارات احصائية في عملية المعايرة والتحقق من الصحة. أن نتائج المعايرة الشهرية السنوية كانت 0.85 و 0.68 لمعامل التحديد و 0.81 و 0.62 لكافأة النموذج على التوالي.

قام [4] بمحاكاة الجريان السطحي لجابية جبلية لنهر Rhone الواقع جنوب غربي سويسرا والتي تبلغ مساحتها 5220 كم<sup>2</sup> عن طريق تطبيق نموذج SWAT اجري معايرة للنموذج لمدة 2001-2005 والتحقق من صحة الأداء للمرة 2006-2010 واستخدم اسلوبين بما محاكاة نوبان الثلوج وانصهار الانهار الجليدية باعتماد دليل درجات الحرارة مع اخذ اختلافات المناسبات وبدونها لغرض المحاكاة، وقسمت الأحواض الثانوية إلى فئتين رئيسيتين مع الانهار الجليدية وبدونها. كان أداء النموذج جيد عند المقارنة بين القيم المحسوبة من النموذج القيمة المرصودة وان اسلوب أخذ اختلافات المناسبات في الحسبان يعطي نتائج أفضل من اسلوب عدم اخذ اختلافات المناسبات، كما اظهرت النتائج أن النموذج يمكن تطبيقه على المناسبات المرتفعة.

كما قام كل من [5] و [6] و [7] بتطبيق نموذج SWAT لتقدير كل من السيف السطحي وحمل المسؤوليات في موقع مختلفة لدراسة تأثير تغير المعاملات منها المناخية واستخدامات الارض على نتائج النموذج.

يهدف البحث الحالي الى تطبيق نموذج SWAT والتحقق من ادائه لتقدير عمق الجريان السطحي ومنه معامل السيف السطحي لحوض نهر الخورسر الموسمي شمال مدينة الموصل من خلال محاكاة مستمرة ولمدة عشرين سنة (1991-2011)، حيث ان هناك مقترن لأنشاء سد على هذا النهر، مما يعزز اهمية تقدير كمية الجريان اليومي والسنوي المتوقع لهذا الحوض لأغراض تصميم وتشغيل السد المقترن.

وصف النموذج - 2

اعتمد اداة تقدير كميات التربة والماء SWAT (Soil and Water Assessment Tool) وهو نموذج فيزيائي يستخدم لتخمين السيل السطحي وحمل الرسوبيات المترسبة معه من دقائق تربة ومواد كيميائية مختلفة. يعتمد النموذج اسلوب المحاكاة المستمرة وبطريقة Muskingum method لاستبعاد الجريان ويستخدم طريقتين لتقدير السيل السطحي طريقة رقم المنحني CN (SCS/1972) Curve number وطريقة معادلة الارشاح ل Green-Ampt (1911) كما ذكرها [9]. استخدمت طريقة رقم المنحني CN في هذه البحث لكونها اكثراً ملائمة كون انها تتطلب بيانات اعماق الامطار اليومية وهذه البيانات المتوفرة في محطات الانواء الجوية في العراق، وفي حين ان معادلة الارشاح ل Green-Ampt تتطلب قياسات اعماق الامطار الساقطة مع الزمن مثلاً خلال كل ساعة أي تتطلب تفاصيل لشدة المطر الساقط، لذلك لم يتم اعتمادها. ان معادلة رقم المنحني لتقدير عمق السيل السطحي هي بالصيغة التالية [10]:-

$$Q_{\text{surf}} = \frac{(R_{\text{day}} - I_a)^2}{(R_{\text{day}} - I_a + S)} \quad \dots \dots \dots \quad (1)$$

**حیث ان :-**

$Q_{\text{surf}}$ : عمق السيج السطحي المتراكم من عاصفة مطرية (mm)،

$R_{day}$ : عمق المطر اليومي (العاصفة المنفردة) (mm)،

a: الفوائد الاولية متضمنة الخزين السطحي واحتياز النبات للمياه والارتفاع الابتدائي (mm) والتي تقدر (0.2S)،

**S:** معامل الاحتياز (mm)، تتغير قيمة S اعتماداً على نوع التربة واستخدام الأرض وميل الجالية أو الحوض الثاني.

يمكن ايجاد معامل الاحتجاز من المعادلة التالية [10]:

$$S = 25.4 \left( \frac{1000}{CN} - 10 \right) \quad \dots \dots \dots \quad (2)$$

## حیث ان :-

CN: رقم المنحني قبل سقوط العاصفة المطرية المعنية (تغير قيمته اعتمادا على العمق المطري للخمسة أيام السابقة)

للعاصفة المعنية)، ويمكن تحديده من جداول خاصة [10]

وبذلك تكون معادلة رقم (١) بالصيغة التالية:

يحدث السيل السطحي فقط عندما يكون عمق المطر  $R_{day}$  أكبر من معدل الارشاح  $I_a$ . في طريقة رقم المنحني هناك ثلاثة قيم لرقم المنحني  $CN$  اعتماداً على حالة رطوبة التربة للفترة قبل سقوط المطر المراد تقيير عمق السيل الناتج عنها. القيمة الأولى  $CN_I$  لحالة التربة الجافة و القيمة الثانية  $CN_{II}$  لحالة التربة عند رطوبة الطبيعية والقيمة الثالثة  $CN_{III}$  لحالة التربة الرطبة وتحدد حالة رطوبة التربة اعتماداً على عمق المطر التراكمي لخمسة أيام التي تسبق العاصفة المطرية المعنة

ان قيمة رقم المنحني الطبيعي  $CN_{II}$  يمكن ايجادها مباشرة من الجداول اعتمادا على نوع تربة الحوض المائي او جزء منه (الحوض المائي الثانوي او الخلية المعنية) وعلى استخدام الارض. يعتمد التمودج على الخرائط الرقمية بصيغة shape file لكل من تصنيف التربة واستخدام الارض ومنها يحدد رقم المنحني لكل خلية من خلايا الحوض المائي او الجابية حيث تقسم الجابية عادة الى خلايا مربعة تعتمد ابعادها على ابعاد نموذج المناسب الرقمية المعتمدة DEM. يبين الشكل (1) خطوط انسار ، اسام ، عما ، التمودج والدخلات الازمة اه

بعد تحديد رقم المنحني لحالة الرطوبة الطبيعية  $CN_{II}$  يعدل اعتماداً على حالة رطوبة التربة ، حيث يقدر رقم المنحني للحالة الجافة  $CN_I$  من المعادلة التالية [9]:

$$CN_I = CN_{II} - \frac{[20 \times (100 - CN_{II})]}{[100 - CN_{II} + \exp(2.533 - 0.0636 \times (10 - CN_{II}))]} \quad \dots \dots \dots (4)$$

وقد رقمنا الحالات الـ 9 من المعادلة التالية:

$$CN_{III} = CN_{II} \times \exp[0.00673 \times (100 - CN_{II})] \quad \dots \dots \dots \quad (5)$$

حلث انز

CN : رقم المحتوى عند المحتوى الظوي، الحاف،

**CN II: رقم المنهج، عند المحتوى الراهن، الطبيعي،**

$CN_{III}$ : رقم المنحني عند المحتوى الرطبوى الرطب.  
ان قيمة رقم المنحني المجدول مناسبة لمقدار ميل 5% اما عند اختلاف الميل فان المعادلة طورت الى الصيغة التالية  
Williams (1995) كما ذكرها [9]:

$$CN_{IIS} = \frac{(CN_{III} - CN_{II})}{3} \times [1 - 2 \times \exp(-13.86 \times slp)] + CN_{II} \quad \dots \dots \dots (6)$$

حيث ان:

$CN_{IIS}$ : رقم المنحني للحالة الطبيعية عند أي قيمة لميل  $slp$

$slp$ : معدل معامل الميل للحوض الثانوي.

وإيجاد معامل الاحتياز  $S$  باستخدام النموذج يوجد طريقتين، الطريقة التقليدية التي يكون فيها معامل الاحتياز متغير اعتمادا على المحتوى الرطبوى للتربة وان المعادلة المستخدمة هي :

$$S = S_{max} \times \left| 1 - \left( \frac{S_w}{(S_w + \exp(w_1 - w_2 \times S_w))} \right) \right| \quad \dots \dots \dots (7)$$

حيث ان:-

$S_{max}$ : اقصى احتياز يمكن ان يتحقق في اي يوم (mm),

$S_w$ : محتوى الرطبوى للتربة مطروحا منه المحتوى الرطبوى عند السعة الحقلية (mm),

$w_1, w_2$ : معاملات الشكل.

ويتم تحديد قيمة  $S_{max}$  من معادلة رقم (2) عند استخدام  $CN_I$  اما معامل الشكل يتم ايجاده من المعادلة (7) على فرض ان معامل الاحتفاظ عند المحتوى الرطبوى الاولى فان رقم المنحني  $CN_I$  يتواافق مع المحتوى الرطبوى عند نقطة الذبول، وكذلك يكون معامل الاحتفاظ عند المحتوى الرطبوى الرطب فان رقم المنحني  $CN_{III}$  يتواافق مع المحتوى الرطبوى عند السعة الحقلية كما ان حالة التربة ذات رقم المنحني 99 (اكبر قيمة عند حالة تشبّع التربة)، وعليه تكون قيمة  $S$  تساوي 2.54 حسب المعادلة (2)، ويمكن تحديد معاملات الشكل من المعادلات ادناه [9]:

$$w_1 = \ln \left[ \frac{FC}{(1 - S_3 \times S_{max}^{-1})} - FC \right] + w_2 \times FC \quad \dots \dots \dots (8)$$

$$w_2 = \frac{\left| \ln \left[ \frac{FC}{(1 - S_3 \times S_{max}^{-1})} - FC \right] - \ln \left[ \frac{SAT}{(1 - 2.54 \times S_{max}^{-1})} - SAT \right] \right|}{SAT - FC} \quad \dots \dots \dots (9)$$

حيث ان:-

$w_1$ : معامل الشكل الاول،

$w_2$ : معامل الشكل الثاني،

$FC$ : محتوى الرطبوى للتربة عند السعة الحقلية mm,

$S_3$ : معامل الاحتفاظ عند المحتوى الرطبوى الرطب  $CN_{III}$ ,

$S_{max}$ : معامل الاحتفاظ عند المحتوى الرطبوى الجاف  $CN_I$ ,

$SAT$ : عمق الماء داخل التربة عندما تكون التربة مشبعة (mm),

ويعدل معامل الاحتياز في حالة وجود غطاء نباتي وتتأثره بمعامل التبخر-نتح لنبات عند نهاية كل يوم بالصيغة التالية:

$$S = S_{prev} + E_o \times \exp \left| \frac{-cncoef \times S_{prev}}{S_{max}} \right| - R_{day} + Q_{surf} \quad \dots \dots \dots \dots \dots (10)$$

حيث ان:-

$S_{prev}$ : معامل الاحتفاظ لليوم السابق (mm)

$E_o$ : جهد التبخر النتح اليومي (mm/day),

$cncoef$ : معامل الوزن .

**تقدير الجريان السطحي باستخدام نموذج SWAT لجبلية غير مرصودة شمال العراق**

بعد تحديد عمق المطر الفائض او عمق السطحي يعتمد النموذج معادلة مانزنك لحساب مقدار سرعة الجريان عند عرض واحد للجري المائي وهي بالصيغة التالية:

$$V_{OV} = \frac{q_{ov}^{0.4} \times slp^{0.3}}{n^{0.6}} \quad \dots \dots \dots \quad (13)$$

## حیث ان:-

الجريان (m/s): سرعة

$q_{ov}$ : معدل التصريف للسيج السطحي ( $m^3/s$ ),

**slp:** معدل الميل للأحواض الثانوية،

ن: معامل ماننک للخشونة .

يتضمن النموذج تقدير زمن التركيز منذ بداية المطر وتكون السبب السطحي داخل الاحواض الثانوية ثم المجرى الرئيس الى حين وصول الماء الى المفذ وان زمن التركيز يقدر من المعادلة:

$$t_{\text{conc}} = t_{\text{ov}} + t_{\text{ch}} \quad \dots \dots \dots (11)$$

## حیث ان:-

• زمن التركيز الكلّي (hr<sub>con</sub>)

**t<sub>ov</sub>**: زمن التركيز للاحواض الثانوية (الجريان السطحي) (hr)،

$t_{ch}$ : زمن التركيز للمجرى الرئيسي (hr).

ويمكن ايجاد زمن التركيز للجريان السطحي من المعادلة التالية :

$$t_{ov} = \frac{L_{slp}}{3600 \times V_{ov}} \quad \dots \dots \dots \quad (12)$$

حیث ان:-

$L_{slp}$ : طول ميل الحوض (m)

$V_{\text{flow}}$ : سرعة جريان السيل السطحي ( $\text{m/s}$ )

3600: معامل وحدة التحويل.

اما زمن التركيز للقناة او المجرى فيتم ايجاده من المعادلة التالية:

$$t_{ch} = \frac{L_c}{3.6 \times V_c} \quad \dots \dots \dots (14)$$

**حیث ان:-**

C: طول معدل الجريان (km)

$V_c$ : سرعة جريان المجرى ( $m/s$ )

### 3.6: معامل وحدة التحويل.

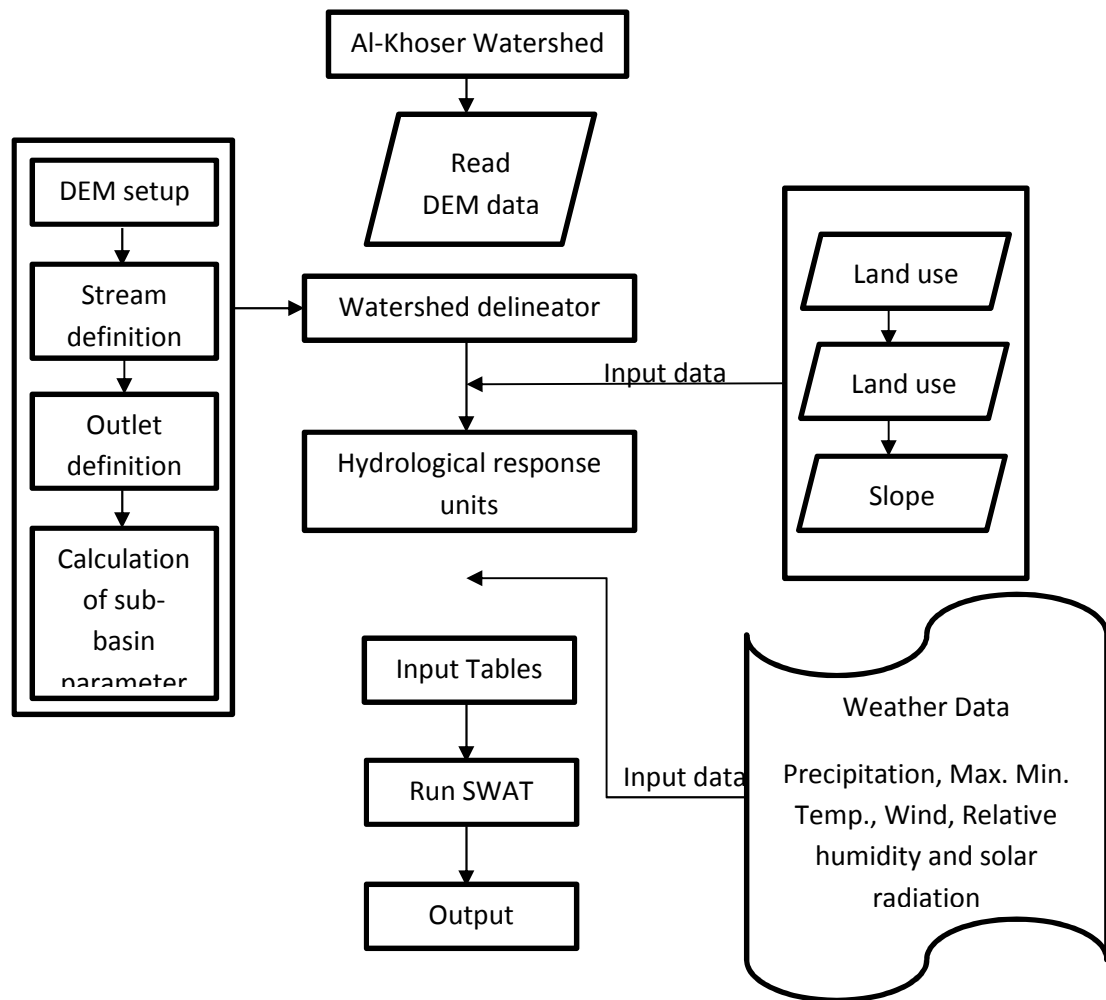
- يمكن ايجاد طول معدن الجريان من المعادلة التالية:-

$$L_c = (L \times L_{cen}) \dots \dots \dots \quad (15)$$

حیث ان:-

L: طول القناة من ابعد نقطة الى مصب الحوض الثانوي (km)،

L: المسافة على طول القناة الى مركز الحوض الثانوي (km).



.الشكل (1): مخطط انسيابي لاسلوب عمل النموذج SWAT

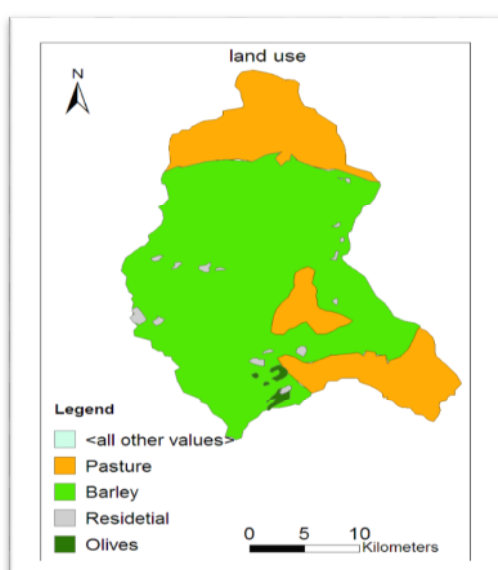
### 3- منطقة الدراسة

تشمل منطقة الدراسة جزء من حوض نهر الخوسر الموسعي الواقع شمال مدينة الموصل/ شمال العراق تتمثل بالجبلية الواقعة أعلى موقع الشلالات والتي تبلغ مساحتها  $696 \text{ km}^2$  كما موضح في الشكل (2). اجريت معايرة وتقيم لأداء نموذج SWAT اعتماداً على قياسات فعلية سابقة في هذه المنطقة [8] لعواصف مطالية منفردة. يتطلب تشغيل النموذج معلومات هيدرولوجية تتضمن اعمق الامطار اليومية ومتباينة مثل درجات الحرارة العظمى والصغرى وسرعة الرياح والاشعاع الشمسي والرطوبة النسبية لفترة المحاكاة ، اضافة الى اعداد خرائط رقمية shape files لتصنيف التربة ونسبة مكوناتها من الرمل، الغرين والطين واستخدامات الارض من الناحية الزراعية ونوعية المحاصيل المزروعة فيها وكذلك تحديد المناطق الحضرية ذات الاستخدامات المدنية المختلفة

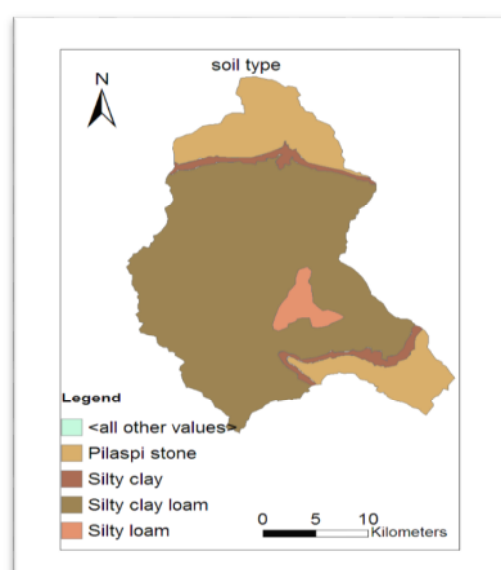


الشكل(2): حدود جابية منطقة الدراسة ، خطوط الجريان فيها وموقعها من خارطة العراق

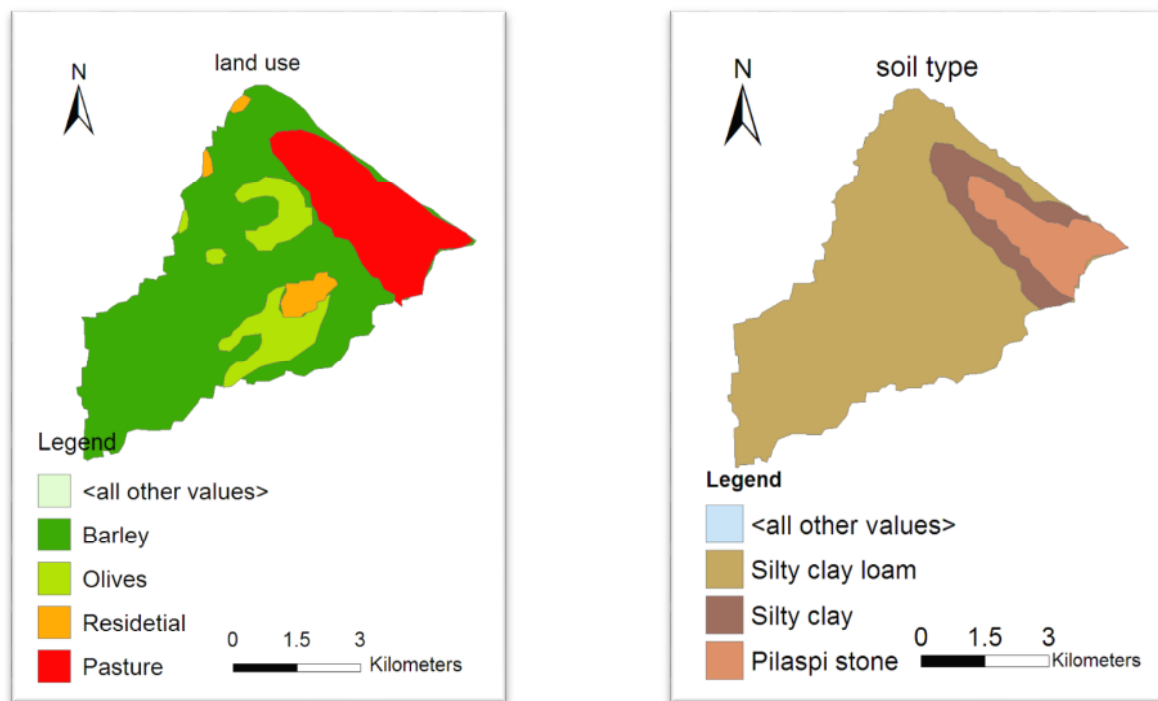
اجري اعداد الخرائط الرقية اعتمادا على قياسات حقلية سابقة [8] على شكل خارطة لغرض وصف نوع التربة علما ان نوع التربة في هذه المنطقة هي مزيجية طينية غرينية و مزيجية غرينية و طينية غرينية و طينية منها صخريه اما استخدام الارض فأن جزء كبير من منطقة الدراسة تزرع بمحاصيل شتوية مثل الحنطة والشعير واصافة الى مناطق فيها اشجار زيتون ومراعي طبيعية وهناك مناطق حضرية او مجتمعات سكنية. يبين الشكل (3-a) و (3-b) نوع التربة واستخدام الارض لمنطقة الدراسة على التوالي. هناك جزء من الحوض او الجابية وهو حوض خوشبان الذي يقع شمال الشرقي من موقع الشلالات والتي تبلغ مساحته  $38.3 \text{ km}^2$  استخدم هذا الحوض لغرض التحقق من صحة اداء النموذج من خلال المقارنة مع عوائق المطرية المنفردة مرصودة لفترة 2003-2004 [1] وكانت تربة الحوض مزيجية طينية غرينية و مزيجية غرينية و طينية غرينية كما هو موضح في الشكل (4-a) والغطاء النباتي يتكون من محاصيل شتوية (حنطة وشعير) و اشجار زيتون و مراعي ومناطق حضرية كما هو موضح في الشكل (4-b)



الشكل(3-b): خارطة استخدام الارض



الشكل (3-a): خارطة نوع التربة



الشكل (4-b) : خارطة استخدام الارض

الشكل (4-a): خارطة نوع التربة

#### 4- معايرة النموذج

استخدمت الجابية الاولى لحوض نهر الخوسر شكل رقم (2) لغرض اجراء المعايرة للنموذج اذا تم تحديد الجابية في نموذج SWAT باعتماد نموذج المناسبات الرقمية للمنطقة بأبعاد (30\*30) م وامثل البيانات المناخية المختلفة والتي تتضمن اعمق الامطار اليومية ودرجات الحرارة العظمى والصغرى وسرعة الرياح والاشعاع الشمسي والرطوبة النسبية واعتمدت بيانات محطة الموصل كونها الاقرب الى موقع الدراسة. تم تشغيل النموذج للفترة 1991-2011 محاكاة مستمرة، لحساب السيل السطحي خلال الفترة اعلاه ومن ثم مقارنة النتائج مع البيانات المرصودة سابقا [8] لثلاثة عوامل مطرية، قدر عمق السيل لها من المخطط المائي المقاس لكل عاصفة مطرية ومساحة الجابية. اجرت معايرة للنموذج من خلال تغير المعاملات التي تؤثر على السيل السطحي مثل رقم المنحنى ومعامل ماننك للخشونة ومعامل التوصيل الهيدروليكي للتربة ضمن حدود كل نوع من انواع التربة حيث تم تثبيت معاملين وتغيير المعامل الثالث والتي حين الحصول على افضل نتائج بالمقارنة مع القيم المرصودة كما مبين نموذج منها في الجدول (1). قيمت النتائج التي تم الحصول عليها من النموذج باعتماد على عدة اختبارات احصائية وهي معامل التحديد<sup>2</sup> R ومعامل كفاءة النموذج (Nash and Sutcliffe efficiency) NSE ودليل الموافقة ioa وختبار t-test (Index of agreement) يبين الجدول (2) العوامل المطرية المرصودة وافضل القيم التي تم الحصول عليها من المعايرة مع قيم المعايير الاحصائية المعتمدة.

## تقدير الجريان السطحي باستخدام نموذج SWAT لجاذبية غير مرصودة شمال العراق :

الجدول (1): نموذج من قيم المعاملات المؤثرة على نتائج السيل السطحي لمعايرة للنموذج وتقيمه.

Run No.	Curve Number (CN)	Manning's Coefficient (n)	Permeability K (m/day)	Simulated Runoff (mm) (SWAT)	Observed Runoff (mm)	Model Efficiency
1	73.35	0.3	4.614	2.7	1.26	-1.9
				3.26	1.83	
				0.42	0.18	
2	73.35	0.48	4.614	2.23	1.26	-0.4
				2.83	1.83	
				0.36	0.18	
3	73.35	0.3	5.38	2.61	1.26	-1.57
				3.15	1.83	
				0.4	0.18	
4	73.35	0.48	5.38	2.16	1.26	-0.17
				2.73	1.83	
				0.34	0.18	
5	69.703	0.3	4.614	2.16	1.26	-0.18
				2.75	1.83	
				0.22	0.18	
6	69.703	0.3	5.38	2.07	1.26	0.09
				2.62	1.83	
				0.2	0.18	
7	69.703	0.48	4.614	1.77	1.26	0.6
				2.37	1.83	
				0.19	0.18	
8	69.703	0.48	5.38	1.69	1.26	0.73
				2.26	1.83	
				0.17	0.18	

الجدول (2) : العوائق المطرية المرصودة لجاذبية نهر الخورص وأفضل النتائج من النموذج.

Date of storm	Rainfall (mm)	Observed Runoff (mm)	Simulated (Runoff (mm) SWAT)	R2	Ioa	NSE	t-test
19/2/2003	19	1.26	1.69	0.99	0.95	0.73	0.19
21/2/2003	18	1.83	2.26				
15/1/2004	9	0.18	0.17				

### 5- التحقق من اداء النموذج

اعتمدت قياسات حوض خوشبان وهو جزء من حوض نهر الخورص التي تبلغ مساحته  $38.3 \text{ km}^2$  لغرض التتحقق من اداء النموذج حيث بعد اعداد البيانات الالازمة تم تشغيل النموذج مباشرة للقيم المعتمدة في حالة المعايرة وذلك لتقدير عمق السيل السطحي محاكاة مستمرة للفترة (1991 - 2011) واجري تقدير لاداء النموذج للعواائق المطرية المنفردة وملاحظة مدى التوافق بين نتائج النموذج مع القيم المرصودة سابقا [1] كما موضح في الجدول رقم (3).

اظهرت النتائج تواافق جيد باعتماد على الاختبارات الاحصائية المعتمدة في معايرة النموذج حيث وكانت النتائج . $t\text{-test} = 0.32$ ,  $\text{ioa} = 0.89$ ,  $\text{model eff.} = 0.72$ ,  $R2 = 0.97$

الجدول (3): نتائج المعايير الاحصائية المعتمدة لتقدير اداء النموذج للعواصف المطرية المرصودة لجبلية حوض خوشبان.

Date of storm	Rainfall (mm)	Observed Runoff (mm)	Simulated Runoff (mm) (SWAT)
4/1/2003	14	0.312	0.29
19/2/2003	19	3.75	2.46
17/1/2004	16	1.66	1.45

## 6- النتائج والمناقشة

بعد اجراء المعايرة لجبلية منطقة الدراسة والتحقق من كفاءة اداء النموذج لجزء من الجبلية من بيانات اخرى، اجري تشغيل النموذج على المساحة الواقعه اعلى موقع الشلالات محاكاة يومية مستمرة لكل عاصفة مطرية للفترة (1991-2011). تضمنت البيانات المعتمدة في المحاكاة اليومية كل من اعمق الامطار، درجات الحرارة الدنيا والعليا، سرعة الرياح، الرطوبة النسبية، ساعات الاشعاع لكل يوم من الفترة المعتمدة لمحطة الموصى وهي الاقرب الى موقع الدراسة. تضمنت مخرجات النموذج حجم ومعدل عمق الجريان السطحي عند منفذ كل حوض ثانوي وعند المنفذ الرئيسي للجبلية. يبين الشكل (5) مقدار عمق المطر لكل عاصفة مطرية وعمق السیح السطحي الناتج عنها للفترة (2003-2004) كنموذج من النتائج، كما يبين الشكل قيم عمق السیح السطحي المقاس للعواصف المرصودة. قدر معامل السیح السطحي اليومي من كل عاصفة مطرية للفترة المعتمدة (1991-2011)، حيث تراوحت قيمه بين (0 و 0.48) اعتماداً على عمق المطر اليومي وحالة رطوبة التربة قبل سقوط المطر (الرطوبة الابتدائية). حيث كان اقل معامل سیح صفر وهذا يحدث في كثير من اعمق الامطار التي تقل عن (9) ملم بغض النظر عن رطوبة التربة الابتدائية. بينما بلغ اقل عمق مطر مسبباً سیح سطحي (9) ملم حيث تراوح معامل السیح له بين (0.0113 و 0.113) اعتماداً على الرطوبة الاولية للتربة، وعلى معامل سیح (0.48) عند عمق مطر يومي (121.6) ملم. تظهر النتائج التفاوت الكبير في معامل السیح السطحي لنفس المنطقة وسبب ذلك هو تأثير العوامل المختلفة المؤثرة عليه من عمق المطر، الرطوبة الاولية للتربة، الغطاء النباتي ومراحل نموه، اضافة الى نوع الغطاء النباتي من محاصيل زراعية او اشجار وما ينعكس من تأثيرها على حركة السیح السطحي وعمق الارتشاح.

رسمت العلاقة بين عمق المطر اليومي (ملم) وعمق السیح السطحي الناتج عنها (ملم) وكما موضحة في الشكل (6). ربط عمق السیح السطحي مع عمق المطر اليومي بعلاقة اسية بالصيغة التالية:

$$SS_{Runoff} = 1.5 \times 10^{-4} \cdot SS_{Rainfall}^{2.664} \quad \text{for } SS_{Rainfall} \leq 9\text{mm} \quad \dots\dots\dots (16)$$

حيث ان:

$SS_{Rainfall}$ : عمق المطر التراكمي لكل عاصفة مطرية مفردة (ملم)،

$SS_{Runoff}$ : عمق السیح السطحي لل العاصفة المطرية المعنية (ملم).

بلغ معامل التحديد لهذه المعادلة ( $R^2=0.782$ ) ، ويمكن تطبيق هذه العلاقة لتقدير عمق الجريان السطحي لمنطقة الدراسة بشكل تقريري وبسيط في حالة عدم توفر البيانات العديدة المطلوبة من حالة رطوبة التربة، استخدام الأرض، الغطاء النباتي وغيرها من المعلومات اللازمة لعرض تقدير عمق السیح السطحي بأعتماد النموذج SWAT او غيره من النماذج. في المرحلة الثانية اجري تخمين لمعامل السیح السطحي السنوي من خلال تجميع اعمق الامطار اليومية لكل عاصفة خلال سنة كامله وتجميع عمق السیح السطحي الناتج عنها، يبين الشكل (7) عمق المطر السنوي (ملم) مع عمق السیح السطحي السنوي (ملم)، وربط عمق السیح مع عمق المطر بمعادلة بالصيغة التالية:

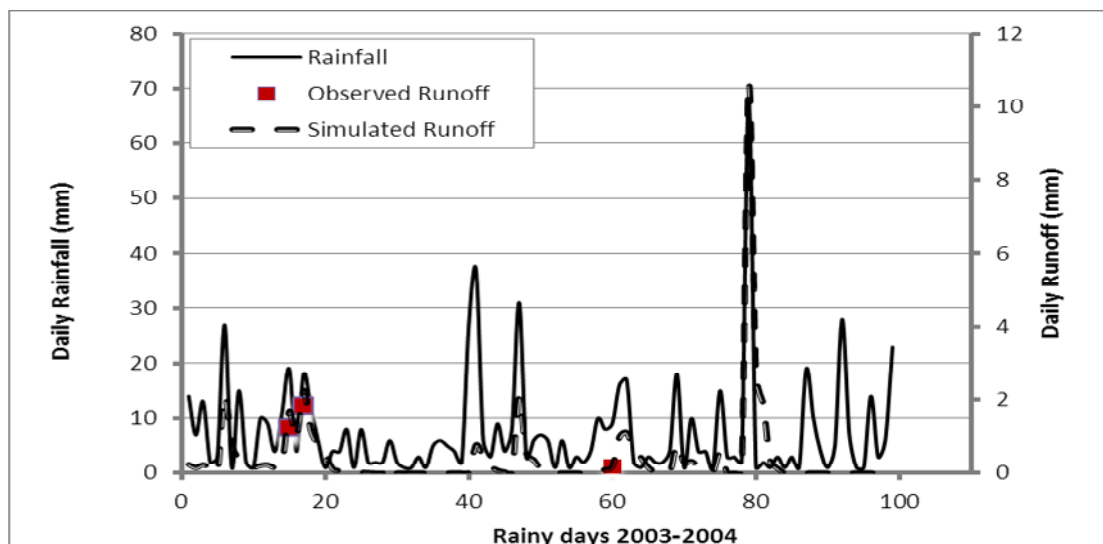
$$Y_{Runoff} = 16.86 - 0.161 \cdot Y_{Rainfall} + 5 \times 10^{-4} \cdot Y_{Rainfall}^2 \quad \text{for } Y_{Rainfall} \geq 150\text{mm} \quad \dots\dots\dots (17)$$

حيث ان:

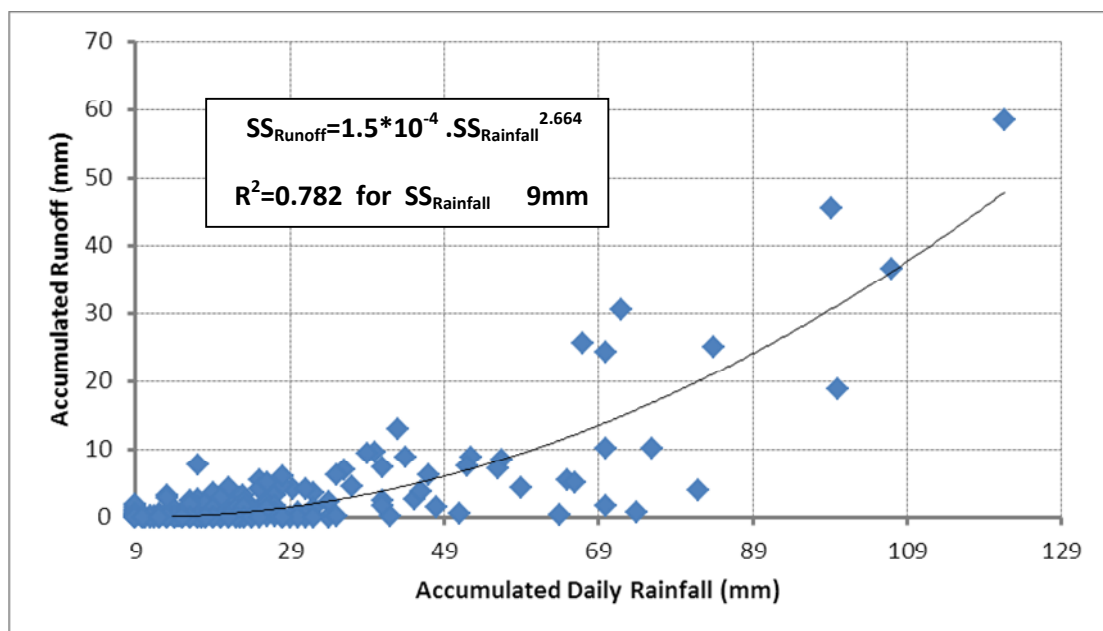
$Y_{Rainfall}$  : عمق الطر التراكمي السنوي (mm)

$Y_{Runoff}$  : عمق الطر التراكمي السنوي (mm).

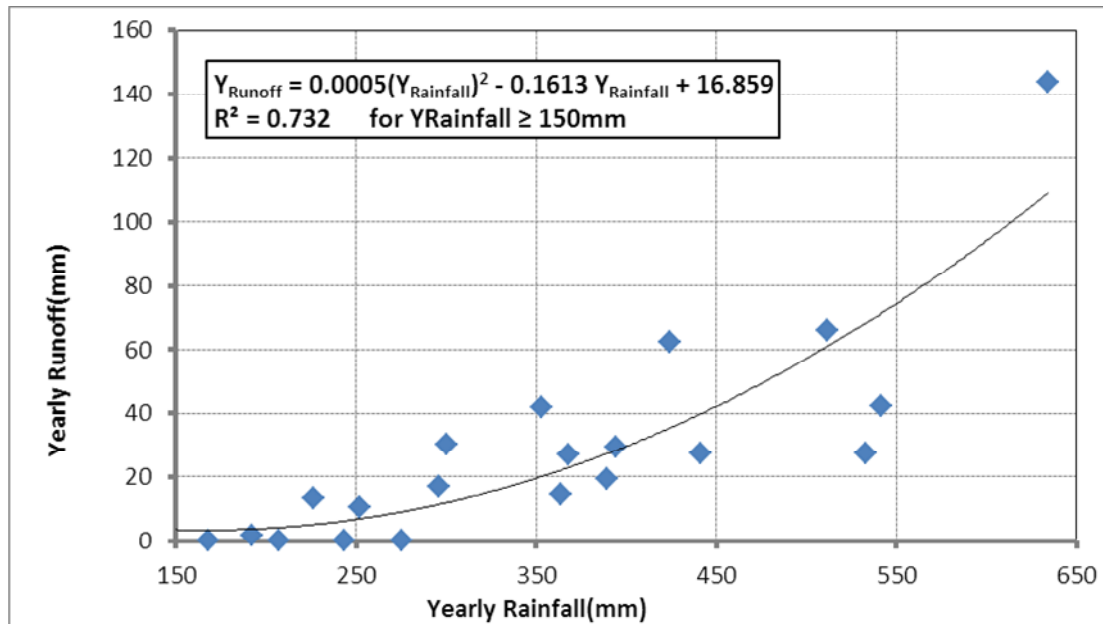
بلغ معامل التحديد لهذه العلاقة ( $R^2=0.732$ ) والتي يمكن اعتمادها لتقدير عمق وحجم الجريان السطحي السنوي بشكل تقريري من معرفة عمق المطر السنوي وتتوفر البيانات المختلفة المؤثرة على عمق السيل. كما معلوم ان هناك بعض الحالات التي تتطلب تقدير لحجم السيل السنوي في بعض دراسات الموازنة المائية وحساب المياه وغيرها، كما ان هناك بعض الحالات ولسنوات محددة التي لا توفر له القراءات اليومية لأعماق الامطار وفي هكذا حالات يمكن اعتماد هذه الصيغة في تقدير عمق السيل السنوي والذي يعطي فكرة تقريرية عن الحجم السنوي للسيل لذاك السنة. كما نلاحظ ان في هذا الاسلوب التقريري السريع لتقدير معامل السيل السنوي او عمق السيل السنوي ان معادلة تقدير العمق السنوي للسيل كانت ذات معامل تحديد اقل من المعادلة لعمق اليومي، والسبب في ذلك ان العاصفة المطرية المنفردة عددها كبيراً خلال مدة الدراسة (1991-2011) وهذا يجعل بعض العوامل ذات تقديرات قريبة من القيم المقاسة وبعضه ذات فروقات معينة زيادة او نقصان، اما القيم السنوية وعددها 21 قيمة فقط فأن تأثير الفروقات يكون اكبر كون عدد قيم القارنة اقل وكذلك فيماها اكبر كونها سنوية مما يقال من معامل التحديد.



الشكل (5): اعماق المطر اليومي والسيل السنوي لسنین 2003-2004



الشكل (6) : العلاقة بين المطر التراكمي اليومي والسيل السنوي الناتج



الشكل (7): العلاقة بين العمق السنوي للسيج السطحي والمطر

المصادر:

- 1- محمد، محمد عز الدين(2008) "دراسة تأثير ابعاد نموذج المناسيب الرقمية على هيدروكراف الجريان السطحي" ، 16-المؤتمر الدولي الثالث للموارد المائية والبيئة الجافة والمنتدى العربي الاول للمياه ، تشرين الثاني 2008 الرياض ، المملكة العربية السعودية.
- 2- داود، باسل خضر، سعيد يونس نجيب، داود، شذى حازم (2010)، "هيدروكراف الجريان الشريطي في الجوابي غير المقاسة حول مدينة الموصل" ،
- 3- Alansi, A.W., Amin, M. S. M., Abdul Halim, G., Shafri, H. Z. M., and Aimrun, W. (2009), "Validation of SWAT Model for Stream Flow Simulation and Forecasting in Upper Bernam Humid Tropical River Basin", Malaysia Hydrology and Earth System Sciences Discussions, 6:PP 7581–7609.
- 4- Rahman, K., Maringanti, C., Beniston, M., Widmer, F., Abbaspour, k., and Lehmann, A. ( 2013), "Streamflow Modeling in a Highly Managed Mountainous Glacier Watershed Using SWAT: The Upper Rhone River Watershed Case in Switzerland", Water Resources Management, 27 : PP 323–339.
- 5- Andersson, J. C.M., Zehnder A. J. B., Wehrli B., Yang H., 2012, "Improved SWAT Model Performance with Time-Dynamic Voronoi Tessellation of Climatic Input Data in Southern Africa", Journal of the American Water Resources Association (JAWRA)( 1-14).
- 6- Easton, Z. M., Fuka, D. R., White, E.D., Collick, A. S., Ashrage, B. B., Mccarteny, M., Awulachew, S.B., Ahmed, A.A., Steenhuis, T.S.,2010, "A multi basin SWAT model analysis of Runoff and sedimentation in the Blue Nile, Ethiopia", Hydrol. Earth Syst. Sci. Discuss., Vol 7, (3837–3878).
- 7- Gebremicael, T .G., Mohamed, Y. A., Betrie, G. D., Zaag, P. V., Teferi, E.,2013," Trend analysis of runoff and sediment fluxes in the Upper Blue Nile basin: A combined analysis of statistical tests, physically-based models and landuse maps", Journal of Hydrology Vol. 482 (57-68).

- 8- Mohammad, M. E., 2005, "A Conceptual Model for Flow and Sediment Routing for a Watershed Northern Iraq", Ph.D. , Thesis , University of Mosul , Iraq.
- 9- Neitsch, S. L., Arnold, J.G., Kiniry, J. R., Williams, J. R., 2009, "Soil and Water Assessment Tool Theoretical Documentation Version 2009", Blackland Research Center-Texas U.S.A.
- 10- -Mays, L.W., 2011, "Water Resources Engineering", John Wiley and Sons, U.S.A.

تم اجراء البحث في كلية الهندسة = جامعة الموصل